

Jacek Mazurkiewicz

Instytut Inżynierii Materiałowej
Politechniki Śląskiej

NAPRĘŻENIA W TAŚMIE WIELOWARSTWOWEJ PODCZAS WALCOWANIA

Streszczenie: Opracowano teoretycznie dopuszczalne modele odkształcenia w procesie walcowania taśmy trójwarstwowej. Wyznaczono strefy obciążeń i naprężenia w nich występujące. Wykazano istnienie strefy dotychczas w literaturze nie opisywanej. Podano miejsce położenia i wielkość naprężeń w niej występujących.

Wykaz stosowanych oznaczeń

- h - wysokość (grubość) taśmy
- L - długość rzutu łuku styku metalu z walcem na płaszczyznę środkową taśmy
- ⊖ - względny udział grubości pojedynczej warstwy w taśmie
- Δh - gniot bezwzględny
- ϕ - współczynnik gniotu
- β - współczynnik poszerzenia
- φ - gniot rzeczywisty
- σ - naprężenie normalne
- τ - naprężenie styczne

$$\sigma_p^* = \frac{2}{\sqrt{3}} \sigma_p$$

σ_p - naprężenie uplastyczniające w jednoosiowym stanie naprężeń
σ_p - naprężenie uplastyczniające w płaskim stanie odkształceń

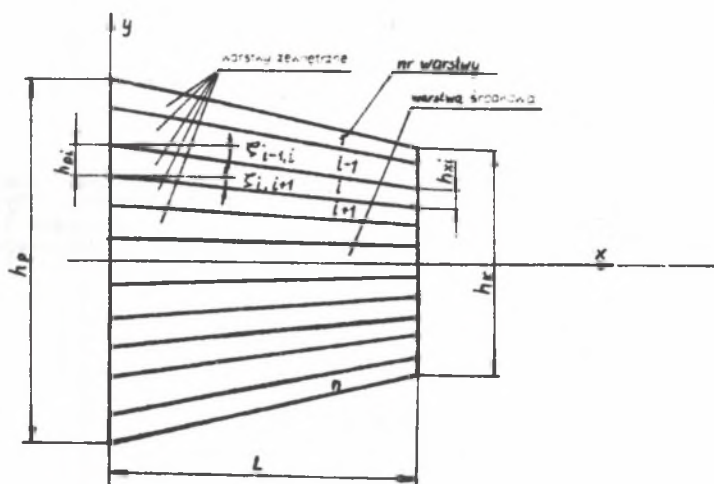
Wskaźniki dodawane do powyższych oznaczeń odnoszą je:

- p, k - kolejno do płaszczyzny wejścia, wyjścia
- i - do warstwy i-tej
- i, i-1 - do granicy pomiędzy warstwami i oraz i-1
- (i) - do strefy i
- (i, i-1) - do granicy pomiędzy strefami i oraz i-1
- x, y, z - oraz ich kombinacje przyjęto jak w teorii plastyczności

Brak wskaźnika warstwy lub strefy przyporządkowuje oznaczenia całej taśmie.

1. Wprowadzenie

W celu opracowania warunków odkształcenia taśmy wielowarstwowej symetrycznie niejednorodnej plastycznie wyznaczono naprężenia występujące w niej podczas walcowania. Sposób wyznaczenia przedstawiono poniżej. Odkształcenie jak i model taśmy przyjęto zgodnie z rys. 1.



Rys. 1. Schemat odkształcenia taśmy wielowarstwowej (n)

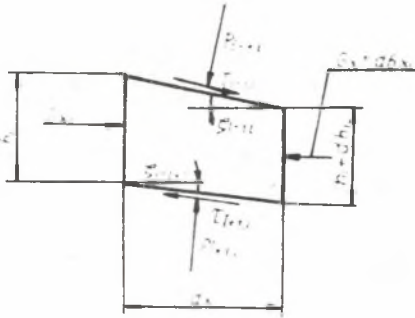
Założono równomierność odkształcenia wszystkich warstw. Ponieważ poszerzenie jak też ich wydłużenie jest identyczne, gniot musi być ten sam dla wszystkich warstw. Zjawisko to występuje w przypadku $\frac{b}{n} > 10$ i długości większej od szerokości kiedy współczynnik poszerzenia zbliża się do jedności.

Dla takich warunków odkształcenia taśmy wyizolowano z jej i-tej, warstwy element i obciążono siłami jak na rys. 2a i 2b. Równanie równowagi sił działających na ten element, po uwzględnieniu warunku plastyczności przedstawia zależność (1).

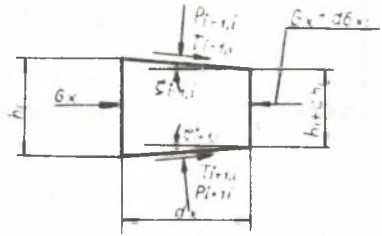
$$-h_i \frac{d\sigma_{pi}}{dx} + \sigma_{pi}^* \frac{dh_i}{dx} + \tau_{i-1,i} - \tau_{i+1,i} = 0 \quad (1)$$

W przypadku gdy i-ta warstwa jest środkowa rys. 2b, $\tau_{i+1,i} = -\tau_{i-1,i}$. Według założeń Siebla przyjęto na powierzchni taśmy bezwzględną wartość naprężenia stycznego równą

$$\tau_{i-1,i} = \sigma_{pi}^* \alpha_{i-1,i} \quad (2)$$



Rys. 2a. Obciążenie elementu w i-tej zewnętrznej warstwie



Rys. 2b. Obciążenie elementu i-tej warstwy środkowej

Na podstawie wyników opracowania (1) założono liniową zmianę naprężeń stycznych wzdłuż wysokości, spowodowało to uziemiennienie $\alpha_{i-1,i}$ w zależności

$$\alpha_{i-1,i} = \alpha_{0,1} - \frac{\sigma_{p1}}{\sigma_{pi}} (1-2 \sum_{j=1}^{i-1} \theta_j) \quad (3)$$

Uzupełniając równanie (1) zależnościami (2) i (3) otrzymano następujący opis poosiowych (wzdłuż kierunku walcowania) naprężeń normalnych

$$\sigma_{xi} = -\sigma_{pi}^* \left(1 - \frac{2\sigma_{p1} L}{\sigma_{pi} \Delta h_i} \alpha_{0,1} \theta_i \right) \ln \theta_i h + C_i \quad (4)$$

2. Strefy obciążenia

Obszar pojedynczej warstwy, w którym nie zmieniają znaku naprężenia styczne występujące na jej powierzchni nazwano strefą obciążenia a w skrócie strefą. Kombinacja znaków naprężeń stycznych na powierzchniach warstw powoduje powstanie czterech typów zależności opisujących naprężenia normalne w badanych strefach. Szczególnym przypadkiem wyżej omówionych zależności są opisy stref, warstw środkowych charakteryzujących się symetrycznym obciążeniem obu swych powierzchni.

Wszystkie wyżej omówione strefy są zaznaczone na rys. 3 do 8 cyframi od 1 do 6.

Zależności opisujące naprężenia $\sigma_{xi(k)}$ w "i tej" warstwie i strefie "k" podano poniżej:

Strefa 1 $\tau_{i-1,i} < 0; \quad \tau_{i+1,i} < 0$

$$\sigma_{xi(1)} = -\sigma_{pi}^* \cdot \left[1 + \frac{\sigma_{p1}}{\sigma_{pi}} \cdot \frac{2L}{\Delta h_i} \cdot \alpha_{0,1} \cdot (1 - \Theta_i - 2 \sum_{j=1}^{i-1} \Theta_j) \right] \cdot \ln \Theta_i \cdot h + C_i(1)$$

Strefa nr 2 $\tau_{i-1,i} < 0; \quad \tau_{i+1,i} > 0$

$$\sigma_{xi(2)} = -\sigma_{pi}^* \cdot \left(1 + \frac{\sigma_{p1}}{\sigma_{pi}} \cdot \alpha_{0,1} \cdot \frac{2L}{\Delta h_i} \cdot \Theta_i \right) \cdot \ln \Theta_i \cdot h + C_i(2)$$

Strefa nr 3 $\tau_{i-1,i} > 0; \quad \tau_{i+1,i} < 0$

$$\sigma_{xi(3)} = -\sigma_{pi}^* \cdot \left(1 - \frac{\sigma_{p1}}{\sigma_{pi}} \cdot \alpha_{0,1} \cdot \frac{2L}{\Delta h_i} \cdot \Theta_i \right) \cdot \ln \Theta_i \cdot h + C_i(3)$$

Strefa nr 4 $\tau_{i-1,i} > 0; \quad \tau_{i+1,i} > 0$

$$\sigma_{xi(4)} = -\sigma_{pi}^* \cdot \left[1 - \frac{\sigma_{p1}}{\sigma_{pi}} \cdot \alpha_{0,1} \cdot \frac{2L}{\Delta h_i} (1 - \Theta_i - 2 \sum_{j=1}^{i-1} \Theta_j) \right] \cdot \ln \Theta_i \cdot h + C_i(4)$$

Strefa nr 5. $\tau_{i-1,i} > 0; \quad \tau_{i+1,i} > 0$

$$\sigma_{xi(5)} = -\sigma_{pi}^* \cdot \left[1 - \frac{\sigma_{p1}}{\sigma_{pi}} \cdot \alpha_{0,1} \cdot \frac{2L}{\Delta h_i} (1 - 2 \sum_{j=1}^{i-1} \Theta_j) \right] \cdot \ln \Theta_i \cdot h + C_i(5)$$

Strefa nr 6 $\tau_{i-1,i} < 0; \quad \tau_{i+1,i} < 0$

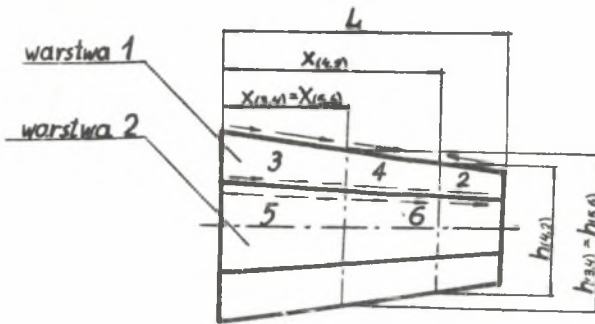
$$\sigma_{xi(6)} = -\sigma_{pi}^* \cdot \left[1 + \frac{\sigma_{p1}}{\sigma_{pi}} \cdot \alpha_{0,1} \cdot \frac{2L}{\Delta h_i} (1 - 2 \sum_{j=1}^{i-1} \Theta_j) \right] \cdot \ln \Theta_i \cdot h + C_i(6)$$

Stałe całkowanie $C_i(k)$ zostały obliczone po ustaleniu zasięgu stref środkowych i przyjęciu poniżej opisanych warunków brzegowych. Dla stref znajdujących się na skraju obszaru odkształcenia warunki brzegowe przyjęto jako $\sigma_{y/h=hp} = -\sigma_{pp}^*$ i $\sigma_{y/h=h_k} = -\sigma_{pk}^*$ co oznacza, że naprężenia nor-

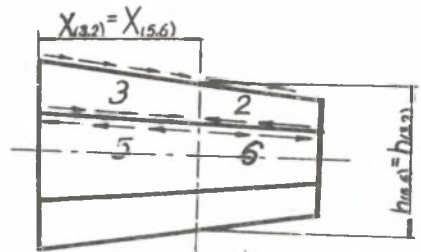
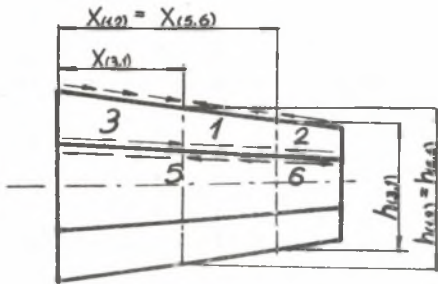
malne ściskające wzdłuż wysokości dla każdej warstwy w płaszczyźnie wejścia i wyjścia są sobie równe.

3. Granice stref

W celu uproszczenia dalszych przeliczeń przyjęto wartości $\bar{\sigma}_{pk} = \bar{\sigma}_{pp}$ co jest równoznaczne w tym przypadku z brakiem umocnienia i przyjęciem dla obszaru odkształcenia pewnej średniej wartości $\bar{\sigma}_p$



Rys. 3. Rozkład sił stycznych dla $X_{(5,6)} = X_{(3,4)} < X_{(4,2)}$ oraz $V_{p1} > V_{p2}$

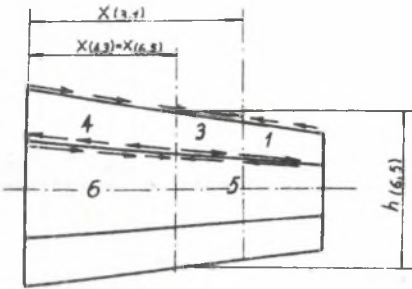


Rys. 4. Rozkład sił stycznych dla $X_{(1,2)} = X_{(5,6)} > X_{(3,1)}$ oraz $V_{p1} > V_{p2}$

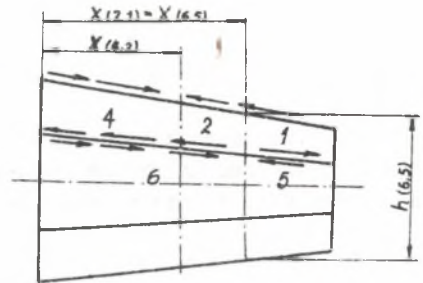
Rys. 5. Rozkład sił stycznych dla $X_{(3,2)} = X_{(5,6)}$ oraz $V_{p1} > V_{p2}$

Przyjęcie tego uproszczenia jest często stosowane i nie wprowadza istotnych zmian w wynikach obliczeń.

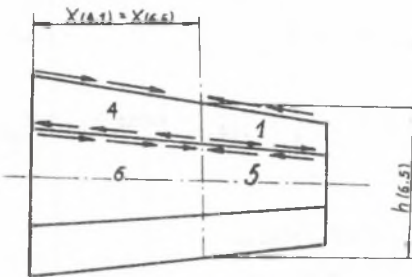
Tak przyjęte warunki brzegowe zezwoliły na obliczenie stałych całkowania dla stref znajdujących się na skraju obszaru odkształcenia. Porównanie naprężeń $\bar{\sigma}_x$ dla sąsiednich stref warstwy środkowej $\bar{\sigma}_x(5) = \bar{\sigma}_x(6)$ pozwoliło wyznaczyć położenie granicy tych stref. Granica ta oznaczona przez



Rys. 6. Rozkład sił stycznych przy $X(3,1) > X(4,3) = X(6,3)$ i $v_{p1} < v_{p2}$



Rys. 7. Rozkład sił stycznych przy $X(2,1) = X(6,3) > X(4,2)$ i $v_{p1} < v_{p2}$



Rys. 8. Rozkład sił stycznych przy $X(4,1) = X(6,3)$ i $v_{p1} < v_{p2}$

$h(5,6)$ rys. 3, 4 i 5 lub przy odwrotnej kolejności ułożenia stref rys. 6, 7 i 8 przez $h(6,5)$ pokrywała się z jedną z granic stref środkowej i zewnętrznej np. rys. 3 $h(5,6) = h(3,4)$. Pozwoliło to na wyznaczenie stałych całkowania stref środkowych. Porównanie naprężeń strefy środkowej z naprężeniami drugiej strefy sąsiedniej np. rys. 3 $\sigma_x(4) = \sigma_x(2)$ doprowadziło do obliczenia granic między tymi strefami. Po tak przeprowadzonych przeliczeniach

otrzymano dla warstwy - wewnętrznej granice pomiędzy strefami 5 i 6 w zależności od kolejności ich ułożenia.

$$h(5,6) = h_p \sqrt{\frac{a_2+1}{2a_2}}$$

$$h(6,5) = h_p \sqrt{\frac{a_2-1}{2a_2}}$$

gdzie:

$$a_2 = \alpha_{0,2} \frac{2L}{\Delta h_2} \frac{\sigma_{p1}}{\sigma_{p2}}$$

Grubość taśmy na granicach stref wynosi:

$$h(3,1) = h(4,2) = h_p \left[\frac{a_2+1}{2a_2} + \frac{1}{a_1} - \frac{1}{a_2} \right]$$

$$h(4,3) = h(2,1) = h(6,5) = h_p \left[\frac{a_2-1}{2a_2} \right]$$

$$h(3,4) = h(1,2) = h(5,6) = h_p \left[\frac{a_2+1}{2a_2} \right]$$

gdzie:

$$a_1 = \alpha_{0,1} \cdot \frac{2L}{\Delta h_1}$$

Weryfikacja przyjętych modeli odkształcenia

Dla sprawdzenia poprawności przyjętych modeli odkształcenia rys. 3 - 8 obliczono długości stref w nich występujących. Względna długość strefy środkowej w zewnętrznej warstwie modelu z rys. 3 wynosi:

$$\frac{X(4,2) - X(5,6)}{L} = \frac{\frac{L}{\Delta h} (h_p - h(4,2))}{L} - \frac{\frac{L}{\Delta h} (h_p - h(5,6))}{L} = \frac{\delta(5,6) - \delta(4,2)}{1 - \delta}$$

Przeprowadzając porównania analogiczne obliczonych długości innych stref stwierdzono, że niektóre z nich nie istnieją, posiadając długość ujemną. Przypadki takie są równoznaczne z niepoprawnościami przyjętych modeli. Na tej podstawie odrzucono modele odkształcenia taśmy trójwarstwowej, zamieszczone na rys. 4 i 7. Modele z rys. 5 i 8, na których brak stref środkowych są jedynie szczególnymi przypadkami modeli z rys. 3 i 6 dla taśmy jednorodnej plastycznie na swej grubości.

Na tej podstawie modele z rys. 3 i 6 uznano za jedynie realne. Model odkształcenia z rys. 3 odpowiada taśmie o warstwach zewnętrznych miękkich tj. o mniejszej granicy plastyczności i warstwie środkowej twardszej, tj. o większej granicy plastyczności. Model ten oznaczono symbolem mtm w przeciwieństwie do modelu z rys. 6 o symbolu tmt. Rozkład własności plastycznych taśmy modelowanej wg mtm jest odwrotny względem tmt, co jest równoznaczne ze zmianą warstw twardszych na miękkie i miękkich na twardsze.

Występowanie w modelach mtm i tmt strefy środkowej umieszczonej w zewnętrznej warstwie zostało teoretycznie potwierdzone poprzez wyznaczenie jej rzeczywistej długości. Udział tej strefy przy zróżnicowanych warunkach

kach walcowania nie przekracza 7,5% długości L. Strefa ta jest o tyle nietypowa, że należy ona równocześnie do strefy opóźnienia względem walców jak też i względem części środkowej. O istnieniu takowej strefy w literaturze dotychczas nie wspomniano.

4. Poosiowe naprężenia normalne w modelach mtm i tmt

Przeprowadzone powyżej badania weryfikacyjne modeli odkształcenia zaakceptowały jedynie dwa z nich oznaczone symbolami mtm i tmt.

Poosiowe naprężenia normalne przedstawiono dla nich w ogólnej postaci:

$$\frac{\sigma_x(i)}{\sigma_p(i)} = A_{(i)}^c \varphi + B_{(i)}^c,$$

gdzie

$$A_{(i)}^c = A_{(i)}^c(\Theta_1, \frac{T}{\sigma_p}, \alpha_{0,1}, \frac{\sigma_{p1}}{\sigma_{p2}})$$

$$B_{(i)}^c = B_{(i)}^c(\Theta_1, \frac{T}{\sigma_p}, \alpha_{0,1}, \frac{\sigma_{p1}}{\sigma_{p2}}, \varphi_k)$$

Wartości A i B dla zaakceptowanych modeli odkształcenia taśmy trójwarstwowej wynoszą:

$$A_{(3)}^D = A_{(3)}^S = a_1 \Theta_1 - 1$$

$$A_{(4)}^D = A_{(4)}^S = a_1 - a_1 \Theta_1 - 1$$

$$A_{(5)}^D = A_{(5)}^K = a_2 - 1$$

$$A_{(6)}^D = A_{(6)}^K = -a_2 - 1$$

$$A_{(1)}^K = -a_1 - a_1 \Theta_1 + 1$$

$$A_{(2)}^K = -a_1 \Theta_1 - 1$$

$$B_{(3)}^D = B_{(4)}^D = 1 - \frac{\sigma_p}{\sigma_{p1}}$$

$$B_{(5)}^D = B_{(6)}^D = 1 - \frac{\sigma_p}{\sigma_{p2}}$$

$$B_{(1)}^k = -A_{(1)}^k \varphi_k - B_{(3)}^p$$

$$B_{(2)}^k = -A_{(2)}^k \varphi_k - B_{(3)}^p$$

$$B_{(5)}^k = -A_{(5)}^k \varphi_k - B_{(5)}^p$$

$$B_{(6)}^k = -A_{(6)}^k \varphi_k - B_{(5)}^p$$

$$B_{(3)}^s = \frac{a_1 \ominus 2}{2 a_2} A_{(5)}^p \varphi_k - B_{(3)}^p$$

$$B_{(4)}^s = \frac{a_1 \ominus 2}{2 a_2} A_{(6)}^p \varphi_k - B_{(3)}^p$$

5. Wnioski

1. Stwierdzono, że zgodnie z przyjętymi założeniami istnieją tylko dwa niezależne modele odkształcenia (rys. 3 i 6) trójwarstwowej taśmy w kotlinie walcowania.
Są one symetrycznie niejednorodne typu mtm i tmt.
2. Zauważono, że w zewnętrznych warstwach tych modeli występują pewne strefy odkształceń nie opisywane w literaturze a charakteryzujące się równocześnie przynależnością do stref opóźnienia wzgl. walca i warstwy środkowej, są one obszarem, w którym zmienia położenie płaszczyzna podziałowa długość ich nie przekracza na ogół 7,5% L.
3. Naprężenie normalne σ_x odniesione do naprężenia uplastyczniającego w badanych modelach zmienia się w poszczególnych strefach i posiada największą wartość w warstwie środkowej modelu tmt i najmniejszą dla jego zewnętrznych warstw. Natomiast w modelu mtm jego rozkład jest mniej nierównomierny a w granicznym przypadku może stać się równomiernym.
4. W obu modelach płaszczyzna podziałowa w środkowej warstwie jest przesunięta w stronę płaszczyzny wejścia, przy czym w modelu mtm przesunięcie to jest mniejsze niż w modelu tmt.

LITERATURA

- [1] Brownmann M.J., Dodin J.S.: Niektóre woprosy obrabotki dawlieniem bimietakła. Kuźniecno Sztampowocznoje Proizvodstvo 1963 nr 1 s. 15.

НАПРЯЖЕНИЯ В МНОГОСЛОЙНОЙ ЛЕНТЕ ВО ВРЕМЯ ПРОКАТКИ

Р е з ю м е

В статье представлены теоретически допустимые модели деформации трехслойной ленты во время ее прокатки. Обозначены выступающие в них зоны деформаций и напряжений.

Отмечена также выступающая до сих пор зона, подано ее место положения и выступающее в ней напряжение.

STRAINS IN THE MULTY LAYER TAPE DURING THE ROLLING PROCESS

S u m m a r y

The article presents theoretically admissible deformation models of the three-layer tape during its rolling. Strain zones and their tensions were appointed. Moreover it was found that a new zone, which was not described before occurs. In the article the position of the new zone and its tensions were presented.